

磁性工学特論05.04.28  
第3回 鉄はなぜ磁気をおびる？

佐藤勝昭

# 角運動量 $\propto$ 磁気モーメント

- 量子論によると角運動量は  $\hbar$  を単位とするとびとびの値をとり、電子軌道の角運動量は  $\Gamma_l = \hbar L$  である。 $L$  は整数値をとる
- $\mu = -(e/2m) \Gamma$  に代入すると
- 軌道磁気モーメント  $\mu_l = -(e\hbar/2m)L = -\mu_B L$
- ボーア磁子  $\mu_B = e\hbar/2m = 9.27 \times 10^{-24} [\text{J/T}]$

## 前回の問題回答

# 3d遷移金属イオンの角運動量

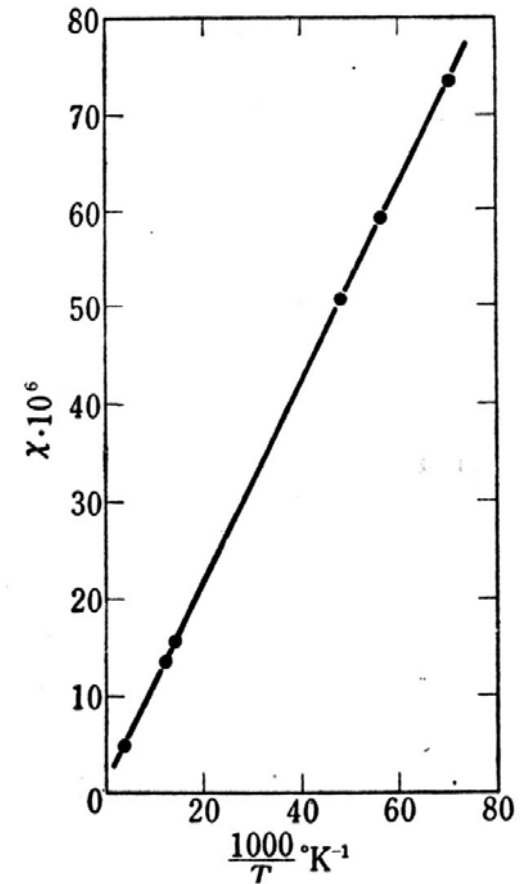
- 3価遷移金属イオンの軌道、スピン、全角運動量

| イオン              | 電子配置                | L | S   | J   | 多重項                           |
|------------------|---------------------|---|-----|-----|-------------------------------|
| Ti <sup>3+</sup> | [Ar]3d <sup>1</sup> | 2 | 1/2 | 3/2 | <sup>2</sup> D <sub>3/2</sub> |
| V <sup>3+</sup>  | [Ar]3d <sup>2</sup> | 3 | 1   | 2   | <sup>3</sup> F <sub>2</sub>   |
| Cr <sup>3+</sup> | [Ar]3d <sup>3</sup> | 3 | 3/2 | 3/2 | <sup>4</sup> F <sub>3/2</sub> |
| Mn <sup>3+</sup> | [Ar]3d <sup>4</sup> | 2 | 2   | 0   | <sup>5</sup> D <sub>0</sub>   |
| Fe <sup>3+</sup> | [Ar]3d <sup>5</sup> | 0 | 5/2 | 5/2 | <sup>6</sup> S <sub>5/2</sub> |
| Co <sup>3+</sup> | [Ar]3d <sup>6</sup> | 2 | 2   | 4   | <sup>5</sup> D <sub>4</sub>   |
| Ni <sup>3+</sup> | [Ar]3d <sup>7</sup> | 3 | 3/2 | 9/2 | <sup>4</sup> F <sub>9/2</sub> |

これだけは覚えておいて

## キュリーの法則：常磁性体の磁化率

- ピエールキュリーは「種々の温度における物体の磁氣的性質」(1895)で、多くの金属、無機物、気体の磁性を調べて論じた。
- キュリーの法則とは、「物質の磁化率(磁化を磁界で割ったもの)が絶対温度に反比例する」という法則である。(これは「常磁性物質」において磁界が小さい場合に成り立つ)
- $\chi = M/H = C/T$

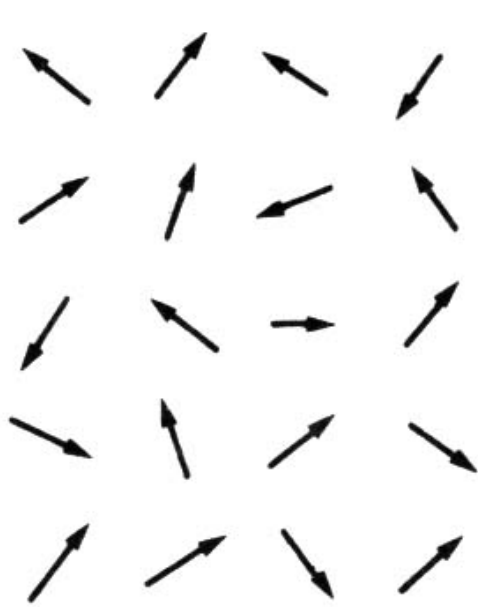


キュリーの法則  $\chi = C/T$  の例  
CuSO4.K2SO4.6H2O

(中村伝:磁性より)

# ランジェバンの常磁性

## 局在電子系の常磁性



(a) 磁界のない場合  
磁気モーメントは  
完全にランダムな  
向きを向く



(b) 磁界のある場合  
磁気モーメントが少し  
ずつ磁界方向に向き、  
全体として磁化をもつ

# ちょっと面倒な式が続きますが ランジェバンの理論

- 原子(あるいはイオン)が磁気モーメント $\mu$ をもち、互いに相互作用がないとする。
- 磁界 $H$ の中に置かれると、そのエネルギーは  $E = -\mu \cdot H$  で与えられるので、平行になろうとトルクが働くが、これを妨げるのが熱運動 $kT$ である。両者のせめぎ合いで原子磁気モーメントの向きが決まる
- 統計力学によると磁界方向に極軸をとって、 $\theta$  と  $\theta + \Delta \theta$  の間にベクトル $\mu$ を見出す確率は

$$P(\theta) = \frac{2\pi \exp(\mu H \cos \theta / kT) d(\cos \theta)}{2\pi \int_{-1}^{+1} \exp(\mu H \cos \theta / kT) d(\cos \theta)}$$

# ちょっと面倒な式が続きますが ランジェバンの理論つづき

- 従って、磁界方向の $\mu$ の平均値は次式で与えられる。

$$\begin{aligned}\mu\langle\cos\theta\rangle &= \mu\int_{-1}^{+1}\cos\theta P(\theta) \\ &= \mu\frac{\int_{-1}^{+1}\cos\theta\exp(\mu H\cos\theta/kT)d(\cos\theta)}{\int_{-1}^{+1}\exp(\mu H\cos\theta/kT)d(\cos\theta)} \\ &= \mu L\left(\frac{\mu H}{kT}\right)\end{aligned}$$

ここに $L(x)$ はランジェバン関数と呼ばれ、次式で表される

$$L(x) = \coth(x) - \frac{1}{x} = \frac{x}{3} - \frac{x^3}{45} + \dots$$

# ランジェバン理論により キュリー則を導く

- $x = \mu H / kT$  が小さいとして、展開の第1項のみをとると、1モルの原子数  $N$  として
- $M = N\mu \cdot (\mu H / 3kT) = (N\mu^2 / 3kT)H$  が得られる。
- これを磁化率の定義式  $\chi = M/H$  に代入すると、  
 $\chi = N\mu^2 / 3kT$  が得られ、キュリーの式  $\chi = C/T$  が得られた。  
ここにキュリー定数は  $C = N\mu^2 / 3k$  である。
- $\mu = n_{\text{eff}} \mu_B$  とおく。ここに  $n_{\text{eff}}$  はボーア磁子を単位にしたときの原子磁気モーメントの大きさを表し、有効ボーア磁子数と呼ばれる。  $C = (N\mu_B^2 / 3k) n_{\text{eff}}^2$



## 量子論による

# ランジェバンの式

- 外部磁界のもとで、相互作用 $-\mu \cdot H$ によって、 $M_J = J-1, J-2, \dots, -J+1, -J$ の縮退した状態は $2J+1$ 個に分裂する。温度 $T$ でこれらの準位にどのように分布するかを考慮して平均の磁気モーメントを計算する。結果を先に書いておくと、磁界が小さいとき、近似的に次式で表される。

$$\chi = \frac{Ng^2 \mu_B^2}{3kT} J(J+1)$$

古典的ランジェバンの式と比較して、有効ボーア磁子数は右のように得られる。

$$n_{eff} = g \sqrt{J(J+1)}$$

ちょっと面倒ですが

## 量子論によるランジェバンの式の導出

- 温度Tにおいて $M_J$ が  $2J+1$ 個の状態のうち1つをとる確率は次式のようにになる。

$$P(M_J) = \frac{\exp(g\mu_B M_J H / kT)}{\sum_{M_J} \exp(g\mu_B M_J H / kT)}$$

- 磁界方向の平均の磁気モーメントは、 $g\mu_B M_J$ に $P(M_J)$ をかけて $M_J$ について和をとれば良く下記のようにになる。

$$\langle \mu_J \rangle = \sum_{M_J} g\mu_B M_J P(M_J) = g\mu_B \frac{\sum_{M_J} M_J \exp(g\mu_B M_J H / kT)}{\sum_{M_J} \exp(g\mu_B M_J H / kT)}$$

ちょっと面倒ですが

## 量子論によるランジェバンの式の導出

- ちょっと面倒な数学的手続きによって、 $\langle \mu_J \rangle$ は次のように求められる。

$$\begin{aligned}\langle \mu_J \rangle &= Jg\mu_B \left[ \frac{2J+1}{2J} \coth \left\{ \left( \frac{2J+1}{2J} \right) \frac{Jg\mu_B H}{kT} \right\} - \frac{1}{2J} \coth \left( \frac{Jg\mu_B H}{2JkT} \right) \right] \\ &= Jg\mu_B B_J \left( \frac{Jg\mu_B H}{kT} \right)\end{aligned}$$

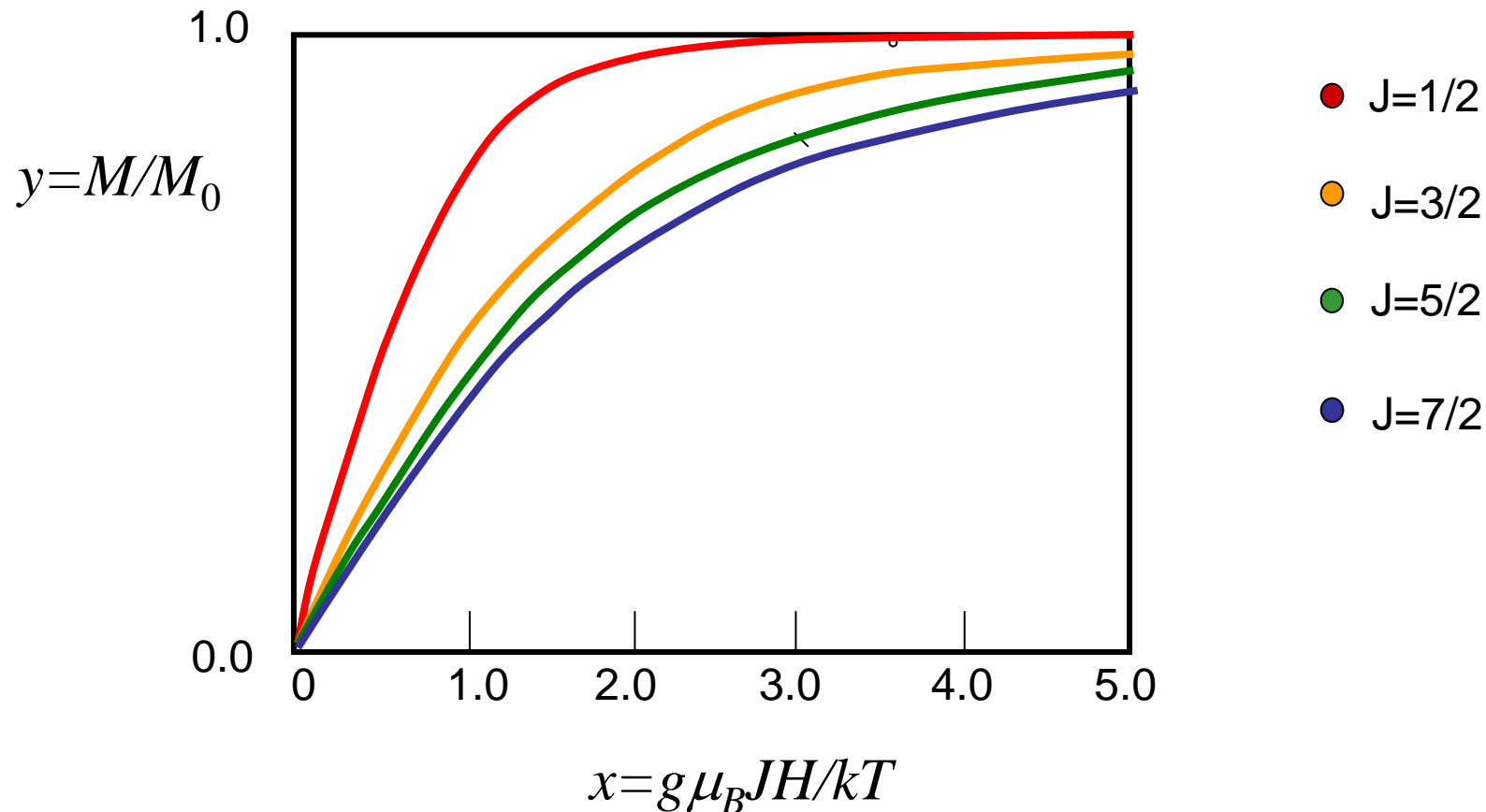
- ここに $B_J(x)$ は**ブリルアン関数**と呼ばれ、 $x$ の増加とともにはじめは1次関数的に増大し、 $x$ の大きな極限では1に飽和する非線形な関数である。 $x$ の小さな時次のように展開できる。

$$B_J(x) = \frac{J+1}{3J} x$$

## 参考

# ブリルアン関数

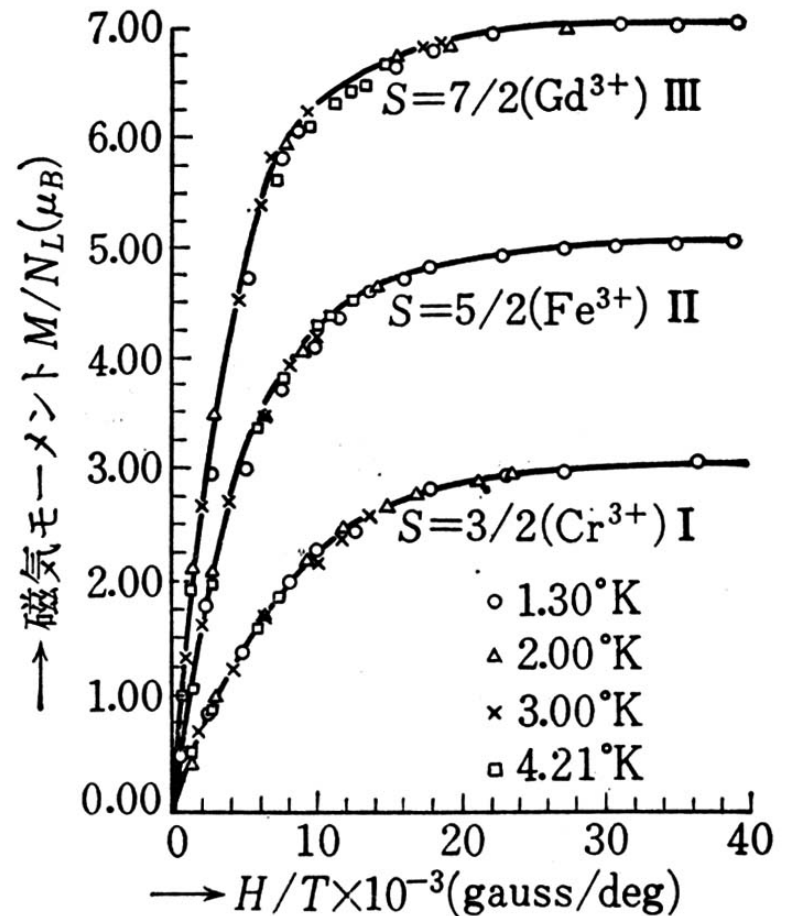
- 磁化の磁界依存性はブリルアン関数で表され、 $H/kT$ が小さいときは直線で、大きくなると飽和する。



## 参考

# ブリルアン関数に従う常磁性磁化曲線

- 常磁性塩の磁気モーメントの $H/T$ 依存性  
(Henry:PR 88 ('52) 559)
- 強磁界、低温では常磁性磁化は飽和する



ちょっと面倒ですが

## 量子論によるランジェバンの式の導出

- 単位体積あたりN個の磁性原子が存在するときMは $N\langle\mu_J\rangle$ で表され、磁化率 $\chi$ は $M/H$ で表されるから、結局次式を得る。

$$\begin{aligned}\chi &= \frac{M}{H} = \frac{N\langle\mu_J\rangle}{H} = \frac{NJg\mu_B}{H} B_J\left(\frac{Jg\mu_B H}{kT}\right) \\ &\approx \frac{NJg\mu_B}{H} \frac{J+1}{3J} \frac{Jg\mu_B H}{kT} = \frac{Ng^2\mu_B^2 J(J+1)}{3kT} \quad (\text{Hが小さいとき})\end{aligned}$$

## 復習 + 発展

# 3d遷移金属イオンの角運動量と磁性

- 実測した常磁性磁化率から得られた有効ボーア磁子数 $n_{eff}$ は、全角運動量 $J$ から理論的に求めた値  $n_{eff} = g\sqrt{J(J+1)}$  を使ってうまく説明できず、 $J$ ではなく $S$ を使って説明できる。

| イオン              | 電子配置                | 基底状態                          | $g\sqrt{J(J+1)}$ | $2\sqrt{S(S+1)}$ | $n_{eff}$ 実測値 |
|------------------|---------------------|-------------------------------|------------------|------------------|---------------|
| Ti <sup>3+</sup> | [Ar]3d <sup>1</sup> | <sup>2</sup> D <sub>3/2</sub> | 1.55             | 1.73             | 1.7           |
| V <sup>3+</sup>  | [Ar]3d <sup>2</sup> | <sup>3</sup> F <sub>2</sub>   | 1.63             | 2.83             | 2.8           |
| Cr <sup>3+</sup> | [Ar]3d <sup>3</sup> | <sup>4</sup> F <sub>3/2</sub> | 0.70             | 3.87             | 3.8           |
| Mn <sup>3+</sup> | [Ar]3d <sup>4</sup> | <sup>5</sup> D <sub>0</sub>   | 0.00             | 4.90             | 4.8           |
| Fe <sup>3+</sup> | [Ar]3d <sup>5</sup> | <sup>6</sup> S <sub>5/2</sub> | 5.92             | 5.92             | 5.9           |
| Fe <sup>2+</sup> | [Ar]3d <sup>6</sup> | <sup>5</sup> D <sub>4</sub>   | 6.71             | 4.90             | 5.5-5.2       |
| Co <sup>2+</sup> | [Ar]3d <sup>7</sup> | <sup>4</sup> F <sub>9/2</sub> | 5.59             | 3.87             | 5.2-4.4       |

## 復習＋発展

# 4f希土類イオンの角運動量と磁性

- 希土類イオンの有効ボーア磁子数は(Sm, Euをのぞき)  $J$ によってよく説明できる。

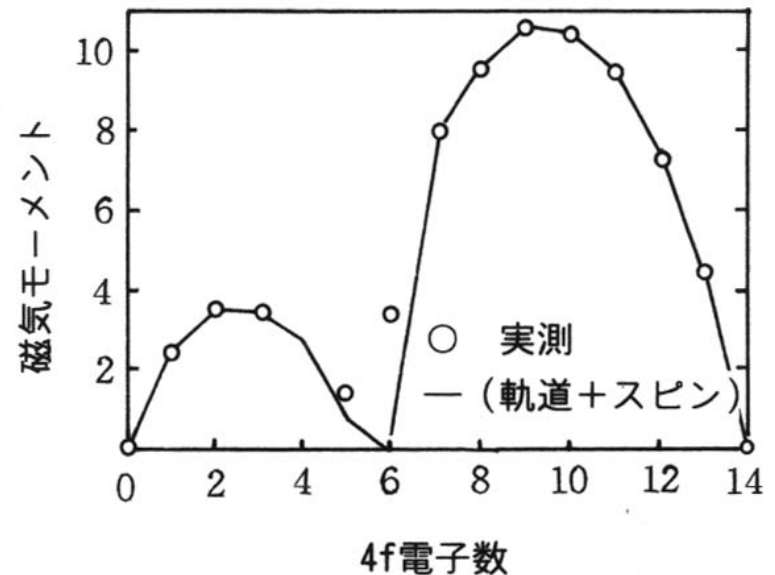
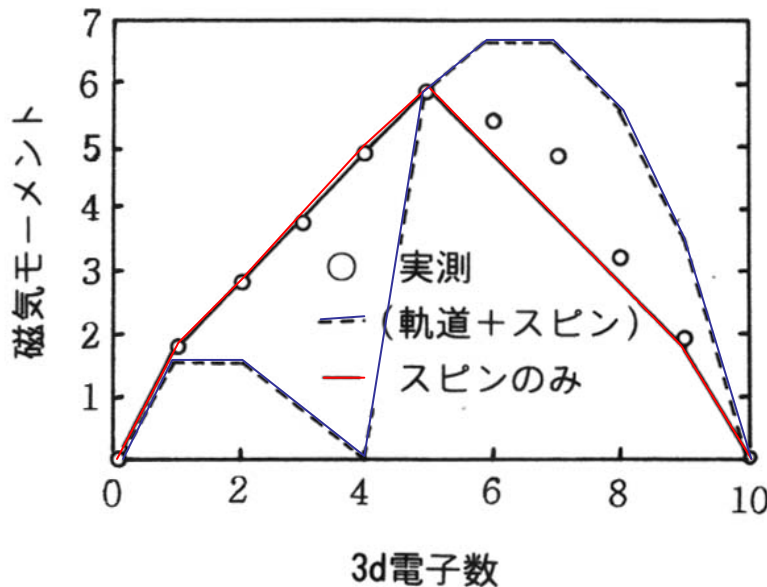
| イオン              | 電子配置   | 基底状態                           | $g\sqrt{J(J+1)}$ | $n_{\text{eff}}$ 実測値 |
|------------------|--|--------------------------------|------------------|----------------------|
| Ce <sup>3+</sup> | 4f <sup>1</sup> 5s <sup>2</sup> 5p <sup>6</sup>  | <sup>2</sup> F <sub>5/2</sub>  | 2.54             | 2.5                  |
| Pr <sup>3+</sup> | 4f <sup>2</sup> 5s <sup>2</sup> 5p <sup>6</sup>  | <sup>3</sup> H <sub>4</sub>    | 3.58             | 3.6                  |
| Nd <sup>3+</sup> | 4f <sup>3</sup> 5s <sup>2</sup> 5p <sup>6</sup>  | <sup>4</sup> I <sub>9/2</sub>  | 3.62             | 3.8                  |
| Pm <sup>3+</sup> | 4f <sup>4</sup> 5s <sup>2</sup> 5p <sup>6</sup>  | <sup>5</sup> I <sub>4</sub>    | 2.68             |                      |
| Sm <sup>3+</sup> | 4f <sup>5</sup> 5s <sup>2</sup> 5p <sup>6</sup>  | <sup>6</sup> H <sub>5/2</sub>  | 0.84             | 1.5                  |
| Eu <sup>3+</sup> | 4f <sup>6</sup> 5s <sup>2</sup> 5p <sup>6</sup>  | <sup>7</sup> F <sub>0</sub>    | 0.00             | 3.6                  |
| Gd <sup>3+</sup> | 4f <sup>7</sup> 5s <sup>2</sup> 5p <sup>6</sup>  | <sup>8</sup> S <sub>7/2</sub>  | 7.94             | 7.9                  |
| Tb <sup>3+</sup> | 4f <sup>8</sup> 5s <sup>2</sup> 5p <sup>6</sup>  | <sup>7</sup> F <sub>6</sub>    | 9.72             | 9.7                  |
| Dy <sup>3+</sup> | 4f <sup>9</sup> 5s <sup>2</sup> 5p <sup>6</sup>  | <sup>6</sup> H <sub>15/2</sub> | 10.63            | 10.5                 |
| Ho <sup>3+</sup> | 4f <sup>10</sup> 5s <sup>2</sup> 5p <sup>6</sup> | <sup>5</sup> I <sub>8</sub>    | 10.60            | 10.5                 |
| Er <sup>3+</sup> | 4f <sup>11</sup> 5s <sup>2</sup> 5p <sup>6</sup> | <sup>4</sup> I <sub>15/2</sub> | 9.59             | 9.4                  |
| Tm <sup>3+</sup> | 4f <sup>12</sup> 5s <sup>2</sup> 5p <sup>6</sup> | <sup>3</sup> H <sub>6</sub>    | 7.57             | 7.2                  |
| Yb <sup>3+</sup> | 4f <sup>13</sup> 5s <sup>2</sup> 5p <sup>6</sup> | <sup>2</sup> F <sub>7/2</sub>  | 4.54             | 4.5                  |



## 復習＋発展

# 遷移金属イオンと希土類イオン

- 3d遷移イオン: 磁気モーメントの実験値: スピンのみ の値に一致 (軌道角運動量は消滅している)
- 4f希土類イオン: 磁気モーメントの実験値: 全角運動量による値と一致 (軌道は生きている)

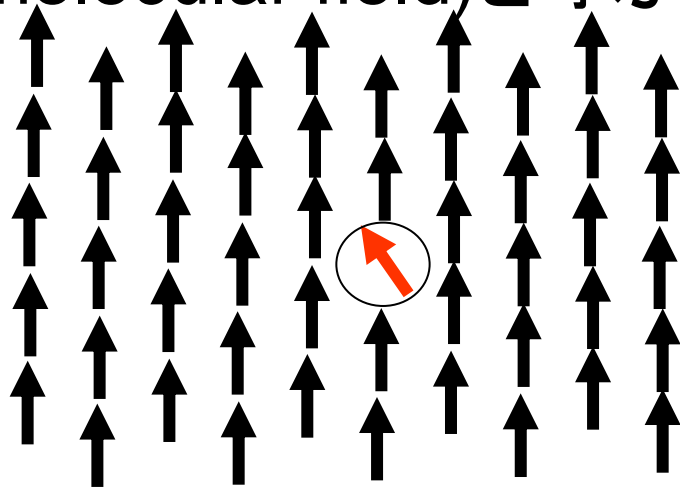


# 強磁性はなぜおきる

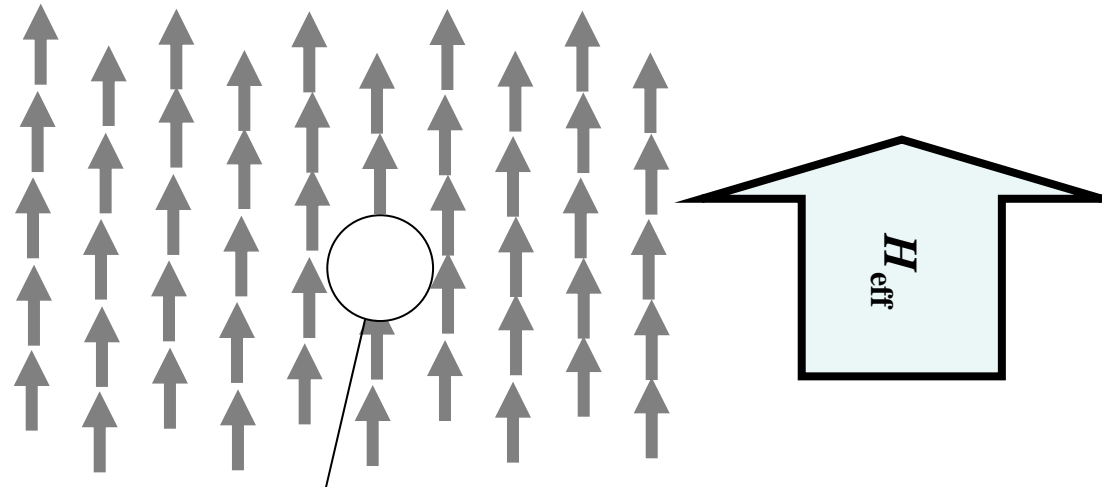
- 常磁性体に誘起される平均の磁気モーメントは室温で $B=100\text{mT}$ の磁界のもとでも $10^{-2}\text{emu/cc}$ 程度の小さな量である。
- これに対して、強磁性体では、磁界を印加しなくても $10^3\text{emu/cc}$ という大きな自発磁気モーメントを持っている。
- ワイスは、原子の磁気モーメントが周りの磁気モーメントからの場(分子場)を受けて整列しているというモデルを立てて、強磁性体の自発磁化を説明した。

# ワイスの分子場理論

- 1つの磁気モーメントを取り出し、その周りにあるすべての磁気モーメントから生じた有効磁界によって、**考えている磁気モーメント**が常磁性的に分極するならば**自己完結的**に強磁性が説明できる
- これを**分子場理論**、有効磁界を分子磁界または**分子場** (molecular field)と呼ぶ。



磁化M



周りからの磁場  $H_{\text{eff}} = H + AM$  が働く

# 分子場理論

## 分子場係数

- 磁化  $M$  をもつ磁性体に外部磁界  $H$  が加わったときの有効磁界は  $H_{\text{eff}} = H + AM$  と表される。 $A$  を分子場係数と呼ぶ。
- 分子場係数  $A$  は  $J_{\text{ex}}$  を交換相互作用係数、 $z$  を配位数として  $A = 2zJ_{\text{ex}}/N(g\mu_{\text{B}})^2$  で与えられる。
- この磁界によって生じる常磁性磁化  $M$  は、 $M = M_0 B_J(g\mu_{\text{B}}H_{\text{eff}}/kT)$  という式で表される。
  - $M_0 = Ng\mu_{\text{B}}$  はすべての磁気モーメントが整列したときに期待される磁化。

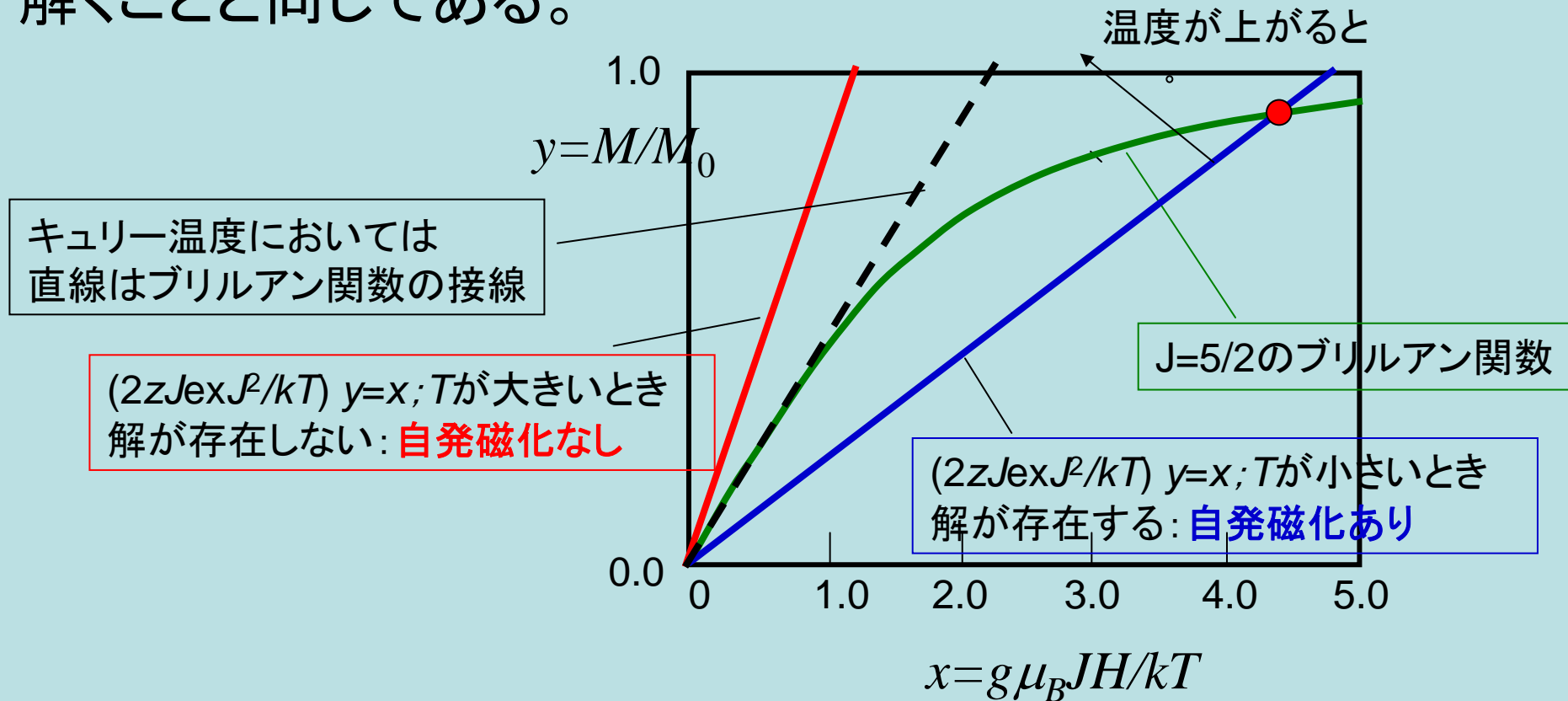
# 分子場理論

## 自発磁化が生じる条件を求める

- $H_{\text{eff}}=H+AM$ であるから、 $H=0$ のとき $H_{\text{eff}}=AM$
- 自発磁化が生じるには $H_{\text{eff}}=AM$ を  
 $M=M_0 B_J(g\mu_B H_{\text{eff}} J/kT)$ に代入して
- $M/M_0=B_J(g\mu_B J H_{\text{eff}}/kT)=B_J(g\mu_B J A M/kT)$   
が成立しなければならない。
- $A$ に分子場係数の式 $A=2zJ_{\text{ex}}/N(g\mu_B)^2$ を代入して  
 $M/M_0= B_J(2zJ_{\text{ex}}g\mu_B M J/ N(g\mu_B)^2 kT)$
- ここで $M_0=Ng\mu_B J$ を使って書き直すと  
 $M/M_0= B_J((2zJ_{\text{ex}} J^2/kT) M/M_0)$ を得る。

# $M/M_0 = B_J((2zJ_{\text{ex}}J^2/kT) M/M_0)$ を解く

- $y=M/M_0$ 、 $x=(2zJ_{\text{ex}}J^2/kT) M/M_0$ とすると、上の方程式を解くことは、**曲線** $y=B_J(x)$ と**直線** $(2zJ_{\text{ex}}J^2/kT) y=x$ を連立して解くことと同じである。



# 分子場理論

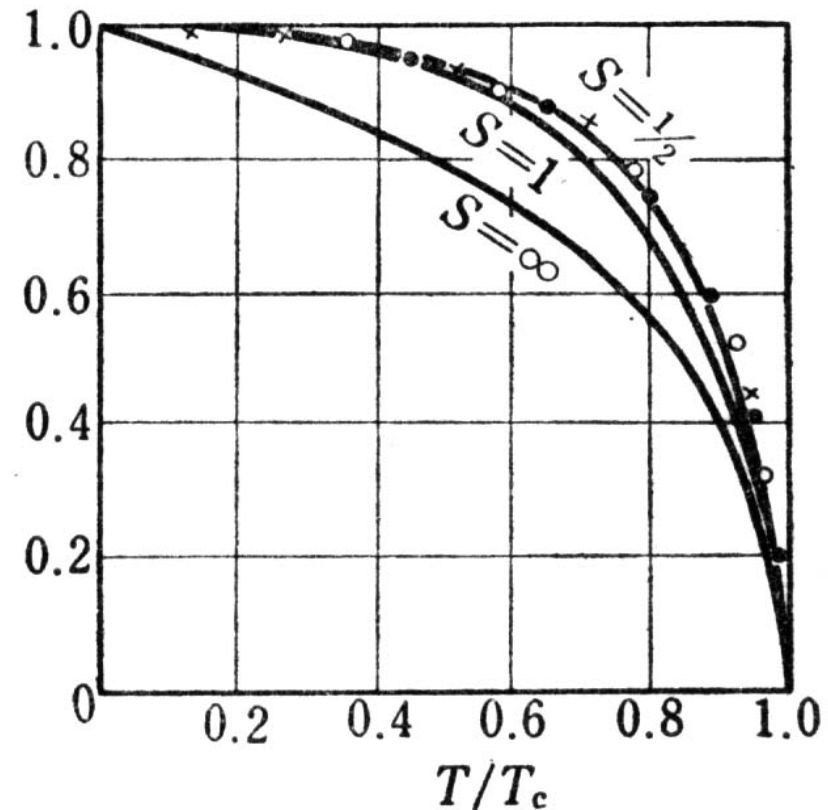
## キュリー温度

- 温度が**低い**とき、直線の傾斜はゆるく、ブリルアン曲線と直線は  $y=M/M_0=1$  付近で交わる。
- 温度が上昇すると  $y$  の小さいところ交わる。
- **高温**になると、0以外に交点を持たなくなる
- $(2zJ_{\text{ex}}J^2/kT)$   $y=x$  の勾配と  $y=B_J(x)$  の接線の勾配が等しいときが**キュリー温度**を与える。
- $x=0$  付近では  $y \sim x/3$  であるから、 $3y=x$  と書ける。
- 従って、 $T_c$  は  $2zJ_{\text{ex}}J^2/kT_c=3$  によってきまる。即ち  $T_c=2zJ_{\text{ex}}J^2/3k$  となる。

# 分子場理論

## 自発磁化の温度変化

- さまざまな $J$ について、分子場理論で交点の $M/M_0$ を $T$ に対してプロットすると磁化の温度変化を求めることができる。ニッケルの磁化温度曲線は $J=1/2$ でよく説明される。



×は鉄、●はニッケル、○はコバルトの実測値、実線は $J$ としてスピン $S=1/2, 1, \infty$ をとったときの計算値



# 分子場理論

## キュリーワイスの法則

- キュリー温度 $T_c$ 以上では、磁気モーメントはバラバラの方向を向き、常磁性になる。分子場理論によれば、このときの磁化率は次式で与えられる。

$$\chi = \frac{C}{T - \Theta_p}$$

- この式をキュリーワイスの法則という。
- $C$ はワイス定数、 $\Theta_p$ は常磁性キュリー温度という
- $1/\chi$ を $T$ に対してプロットすると $1/\chi = (T - \Theta_p)/C$ となり、横軸を横切る温度が $\Theta_p$ である。

# 分子場理論

## キュリーワイスの法則を導く

- $H_{\text{eff}}=H+AM$
- $M/H_{\text{eff}}=C/T$  (Mと $H_{\text{eff}}$ の間にキュリーの法則が成立すると仮定する)
- $M/(H+AM)=C/T \rightarrow MT=C(H+AM)$   
従って、 $M(T-CA)=CH$ より
- $\chi=M/H=C/(T-CA)$ となる。  $CA=\Theta_p$ と置けば  
キュリーワイスの法則が導かれる。すなわち  
$$\chi=C/(T-\Theta_p)$$

## 演習コーナー

ブリルアン関数を使って強磁性体のM-T曲線を求めよ

- $J=1/2$ のブリルアン関数を用い、各Tにおいて自発磁化の大きさを求め、Tに対してプロットせよ。

BJ(x) J=1/2

